

这是标题

陈烁龙

2022 年 9 月 21 日

目录

1	概述	1
2	前置知识	1
2.1	贝塞尔曲线	1
2.2	B 样条曲线	1
3	论文算法	2
3.1	位姿 B 样条	2
3.2	流程	3

插图

1	贝塞尔曲线	1
2	准 B 样条曲线	2

表格

1 概述

本次论文为：《Targetless Calibration of LiDAR-IMU System Based on Continuous-time Batch Estimation》，其是一篇关于传感器标定的文章。其使用 B 样条曲线，在连续时间上对传感器的轨迹进行建模（主要是 IMU 和激光雷达）。其不需要靶标，适应的场景较多。

2 前置知识

2.1 贝塞尔曲线

贝塞尔曲线主要用于二维图形应用程序中的数学曲线，曲线由起始点，终止点（也称锚点）和控制点组成，通过调整控制点，通过一定方式绘制的贝塞尔曲线形状会发生变化¹。

贝塞尔曲线的性质：曲线总是通过第一个点和最后一个点；第一个点的切线即为第一个点和第二个点的连线；最后一个点的切线即为最后一个点和倒数第二个点的连线。

对于 n 次的贝塞尔曲线，其有 $n + 1$ 个控制点，曲线上点的位置由控制点和参数 $t \in [0, 1]$ 决定。其公式为：

$$B_n(t) = \sum_{i=0}^n C_n^i (1-t)^{n-i} t^i P_i \quad t \in [0, 1]$$

其中：

$$C_n^i = \frac{n!}{(n-i)! \cdot i!}$$

例如，对于 3 次的贝塞尔曲线，其公式为：

$$B_3(t) = (1-t)^3 P_0 + 3t(1-t)^2 P_1 + 3t^2(1-t) P_2 + t^3 P_3$$

另外，对于计算机适合的计算贝塞尔曲线递推方法为：

$$\begin{aligned} B_n(t|P_0, P_1, \dots, P_n) = \\ (1-t)B_{n-1}(t|P_0, P_1, \dots, P_{n-1}) \\ + tB_{n-1}(t|P_1, P_2, \dots, P_n) \end{aligned}$$

¹注意是整体曲线，这和后面的 B 样条曲线不同。

比如，同样对于 3 阶的贝塞尔曲线，其公式为：

$$\begin{cases} B_3(t|P_0, P_1, P_2, P_3) = (1-t)B_2(t|P_0, P_1, P_2) \\ \quad + tB_2(t|P_1, P_2, P_3) \\ B_2(t|P_0, P_1, P_2) = (1-t)B_1(t|P_0, P_1) \\ \quad + tB_1(t|P_1, P_2) \\ B_2(t|P_1, P_2, P_3) = (1-t)B_1(t|P_1, P_2) \\ \quad + tB_1(t|P_2, P_3) \\ B_1(t|P_i, P_j) = (1-t)B_0(t|P_i) + tB_0(t|P_j) \\ \quad = (1-t)P_i + tP_j \end{cases}$$

贝塞尔曲线如下图所示：

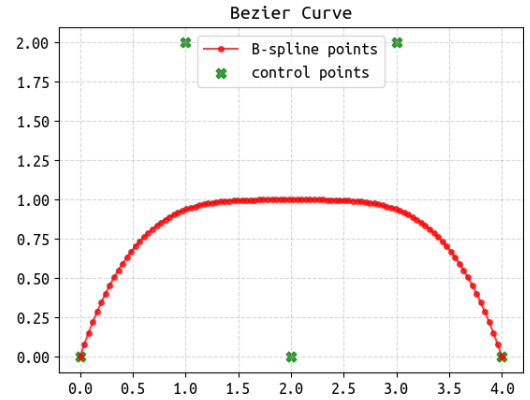


图 1: 贝塞尔曲线

2.2 B 样条曲线

B 样条是通过一组指定点集而生成平滑曲线的柔性带。简单地说，B 样条曲线就是通过控制点局部控制形状的曲线²。

对于 k 次³的 B 样条曲线，其有 $n + 1$ 个控制点、 $m + 1 = (n + k + 1) + 1$ 个节点，即： $t_0 < \dots < t_m$ ，且每个 $t \in [t_i, t_{i+1}]$ 节点处的值只会由 $k + 1$ 个控制点 $P_i, P_{i+1}, \dots, P_{i+k}$ 约束，其公式为：

$$B_{n,k}(t) = \sum_{i=0}^n P_i \cdot b_{i,k}(t)$$

²注意是局部控制，因为其多项式的次数 (k) 独立于控制点的数目 ($n + 1$)，但是有一定的限制。

³阶数等于次数加 1。

其中 $b_{i,n}(t)$ 可以通过 de Boor 递归公式得到:

$$b_{i,0}(t) = \begin{cases} 1 & t_i \leq t \leq t_{i+1} \\ 0 & \dots \end{cases}$$

$$b_{i,k}(t) = \frac{t - t_i}{t_{i+k} - t_i} b_{i,k-1}(t) + \frac{t_{i+k+1} - t}{t_{i+k+1} - t_{i+1}} b_{i+1,k-1}(t)$$

当节点等距, 称 B 样条为均匀。如果节点的重复度为 $k+1$ (即 $t_0 = \dots = t_k, t_{m-k} = \dots = t_m$) 时, 为准 B 样条均匀。

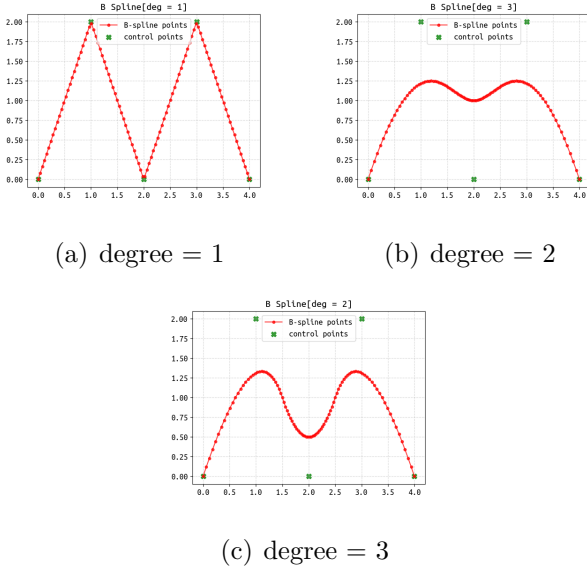


图 2: 准 B 样条曲线

3 论文算法

3.1 位姿 B 样条

对于一个均匀 B 样条曲线, 我们可以通过矩阵的形式来表达它:

$$\mathbf{p}(t) = \sum_{j=0}^d \mathbf{u}^T \mathbf{M}_{(j)}^{(d+1)} \mathbf{p}_{i+j}$$

其中 d 为该均匀 B 样条曲线的次, 也就是说, 对于 $t \in [t_i, t_{i+1}]$ 时间范围内点点, 其只会受控制点 $\{\mathbf{p}_i, \dots, \mathbf{p}_{i+d}\}$ 的影响, 论文中选取 $d = 3$ 。公

式中的向量和矩阵为:

$$\mathbf{M}^{(3+1)} = \frac{1}{6} \begin{pmatrix} 1 & 4 & 1 & 0 \\ -3 & 0 & 3 & 0 \\ 3 & -6 & 3 & 0 \\ -1 & 3 & -3 & 1 \end{pmatrix} \quad \mathbf{u} = \begin{pmatrix} 1 \\ u \\ u^2 \\ u^3 \end{pmatrix}$$

$$u = \frac{t - t_i}{t_{i+1} - t_i}$$

符号 $\mathbf{M}_{(j)}^{(3+1)}$ 表示矩阵 $\mathbf{M}^{(3+1)}$ 的第 j 列向量。通过推导, 可以得到该样条曲线对时间的函数:

$$\begin{cases} \dot{\mathbf{p}}(t) = \sum_{j=0}^d \frac{1}{t_{i+1} - t_i} \begin{pmatrix} 0 & 1 & 2u & 3u^2 \end{pmatrix} \mathbf{M}_{(j)}^{(d+1)} \mathbf{p}_{i+j} \\ \ddot{\mathbf{p}}(t) = \sum_{j=0}^d \frac{1}{(t_{i+1} - t_i)^2} \begin{pmatrix} 0 & 0 & 2 & 6u \end{pmatrix} \mathbf{M}_{(j)}^{(d+1)} \mathbf{p}_{i+j} \end{cases}$$

上面的 B 样条曲线可以描述位姿量中的平移量。

对于位姿量中的旋转量, 还需要进行相应的变换。不难得到, 下面形式的 B 样条等价于上文中的公式:

$$\mathbf{p}(t) = \mathbf{p}_i + \sum_{j=1}^d \mathbf{u}^T \tilde{\mathbf{M}}_{(j)}^{(d+1)} (\mathbf{p}_{i+j} - \mathbf{p}_{i+j+1})$$

d 当 $d = 3$ 时, 公式中矩阵 $\tilde{\mathbf{M}}^{(3+1)}$ 为:

$$\tilde{\mathbf{M}}^{(3+1)} = \frac{1}{6} \begin{pmatrix} 6 & 5 & 1 & 0 \\ 0 & 3 & 3 & 0 \\ 0 & -3 & 3 & 0 \\ 0 & 1 & -2 & 1 \end{pmatrix}$$

我们利用四元素表示旋转, 则有:

$$\mathbf{q}(t) = \mathbf{q}_i \otimes \prod_{j=1}^d \exp(\mathbf{u}^T \tilde{\mathbf{M}}_{(j)}^{(d+1)} \log(\mathbf{q}_{i+j+1}^{-1} \otimes \mathbf{q}_{i+j}))$$

其中, $\exp(\cdot)$ 表示从李代数到姿态流形的指数映射, 而 $\log(\cdot)$ 表示从姿态流形到李代数的对数映射, 二者是相反的过程。

通过对旋转 B 样条曲线和位移 B 样条曲线求时间微分, 可以轻松的将其和 IMU 的输出角速度和线速度对应上:

$$\begin{cases} {}^I \mathbf{a}(t) = {}^{I_0} \mathbf{R}^T(t) ({}^{I_0} \ddot{\mathbf{p}}(t) - {}^{I_0} \mathbf{g}) \\ {}^I \boldsymbol{\omega}(t) = {}^{I_0} \mathbf{R}^T(t) {}^{I_0} \dot{\mathbf{R}}(t) \end{cases}$$

其中 ${}^{I_0}\mathbf{g}$ 表示 IMU 参考帧 (即第一帧) 上的重力。

3.2 流程

首先, 我们可以通过 IMU 的输出, 拟合一条姿态 B 样条曲线⁴, 其最小二乘问题定义为:

$$\mathbf{q}_0, \dots, \mathbf{q}_N = \min \sum_{k=0}^M = \|\mathbf{I}_k \boldsymbol{\omega}_m - \mathbf{I}_I \mathbf{R}^T(t_k) \mathbf{I}_0 \dot{\mathbf{R}}^T(t_k)\|$$

其中 $\mathbf{I}_k \boldsymbol{\omega}_m$ 为 t_k 时刻陀螺的角速度输出。注意, 在优化的时候, $\mathbf{I}_0 \mathbf{q}(t_0)$ 保持为单位四元素⁵。之后, 我们就可以计算任意时刻的 IMU 位姿了。

同时, 我们基于 NDT 点云注册方法, 进行激光里程计的估计, 得到帧间的位姿变化 ${}^{L_k}_{L_{k+1}} \mathbf{q}$ 。当然, 我们可以得到在这一段时间内 IMU 的位姿变化 ${}^{I_k}_{I_{k+1}} \mathbf{q}$ 。显然, 这两个位姿变换之间满足:

$${}^{I_k}_{I_{k+1}} \mathbf{q} \otimes {}^I_L \mathbf{q} = {}^I_L \mathbf{q} \otimes {}^{L_k}_{L_{k+1}} \mathbf{q}$$

进一步, 有:

$$\alpha_k \left(\left[{}^{I_k}_{I_{k+1}} \mathbf{q} \right]_L - \left[{}^{L_k}_{L_{k+1}} \mathbf{q} \right]_L \right) {}^I_L \mathbf{q} = \mathbf{0}$$

其中: $[\cdot]_L$ 表示四元素左乘积矩阵⁶, $[\cdot]_R$ 表示四元素右乘积矩阵。而 α_k 是一个权因子:

$$\begin{cases} r_k = \|2(\arccos({}^{I_k}_{I_{k+1}} q_w) - \arccos({}^{L_k}_{L_{k+1}} q_w)) \\ \alpha_k = \begin{cases} 1 & r_k < \text{threshold} \\ \frac{\text{threshold}}{r_k} & \text{otherwise} \end{cases} \end{cases}$$

⁴参数其实就是得到曲线上的控制点, 因为控制点确定, 曲线方程就确定了。

⁵类似与旋转矩阵中的单位矩阵, 代表不旋转。

⁶ 假设有两个四元素 $\mathbf{q} = \begin{pmatrix} q_w & \mathbf{q}_s^T \end{pmatrix}^T$ 、 $\mathbf{p} = \begin{pmatrix} p_w & \mathbf{p}_s^T \end{pmatrix}^T$, 那么 $\mathbf{p} \otimes \mathbf{q} = [\mathbf{p}]_L \otimes \mathbf{q} = [\mathbf{q}]_R \otimes \mathbf{p}$ 。其中:

$$[\mathbf{p}]_L = \begin{pmatrix} p_w & -\mathbf{p}_s^T \\ \mathbf{p}_s & p_w \mathbf{I} + [\mathbf{p}_s]_{\times} \end{pmatrix} \quad [\mathbf{q}]_R = \begin{pmatrix} q_w & -\mathbf{q}_s^T \\ \mathbf{q}_s & q_w \mathbf{I} - [\mathbf{q}_s]_{\times} \end{pmatrix}$$

所以, 对于多个对应段内的姿态变换, 我们可以列出方程组, 求解得到激光雷达到 IMU 的姿态变换 ${}^I_L \mathbf{q}$ 。至于初始化时候的 IMU 和激光雷达的位移量 ${}^I \mathbf{p}_L$, 由于加速度和重力耦合, 所以不利于估计。在论文中不初始化位移量。

初始化了 IMU 和 LiDAR 以及他们之间的姿态变换关系之后, 就可以利用 IMU 的连续时间姿态 B 样条曲线对 LiDAR 帧进行去畸变操作, 这样可以改善 LiDAR 的里程计精度。随后, 论文将初步得到的 LiDAR 点云地图进行分块, 然后计算每一个块内的点均值向量和方差矩阵。对于反差矩阵, 可以求解得到其三个特征值: $\lambda_0 \leq \lambda_1 \leq \lambda_2$, 并构造一个量来描述该块内点云的平面度 (分布趋于平面的程度):

$$\mathcal{P} = 2 \frac{\lambda_1 - \lambda_0}{\lambda_0 + \lambda_1 + \lambda_2}$$

\mathcal{P} 越接近 1, 越像平面。对于平面度大于阈值的平面, 我们对其点云进行基于 RANSAC 的平面拟合, 得到平面参数: $\pi = [\mathbf{n}^T, d]^T$ 。其中 \mathbf{n} 是平面的单位法向量, d 是坐标原点到平面的距离。

完成了初始化和 LiDAR 点云面片化, 我们就可以进行图优化了。我们定义状态向量为:

$$\mathbf{x} = [{}^I_L \mathbf{q}^T, {}^I \mathbf{p}_L^T, \mathbf{x}_q^T, \mathbf{x}_p^T, \mathbf{b}_a^T, \mathbf{b}_g^T]^T$$

其中, 前两个参数向量为 IMU 和 LiDAR 之间的位姿关系, 后两个参数为 B 样条曲线的控制点位姿, 最后两个为 IMU 的零偏误差。

所以, 对于一系列的 LiDAR 点云帧 \mathcal{L} 、加速度计的输出 \mathcal{A} 、角速度计的输出 \mathcal{W} , 可以定义一个最小二乘问题:

$$\hat{\mathbf{x}} = \min \left\{ \sum_{k \in \mathcal{A}} \|\mathbf{r}_a^k\|_{\Sigma_a}^2 + \sum_{k \in \mathcal{W}} \|\mathbf{r}_\omega^k\|_{\Sigma_\omega}^2 + \sum_{j \in \mathcal{L}} \|\mathbf{r}_l^j\|_{\Sigma_l}^2 \right\}$$

其中：

$$\begin{cases} \mathbf{r}_a^k = {}^{I_k}\mathbf{a}_m - {}^I\mathbf{a}(t_k) - \mathbf{b}_a \\ \mathbf{r}_\omega^k = {}^{I_k}\boldsymbol{\omega}_m - {}^I\boldsymbol{\omega}(t_k) - \mathbf{b}_g \\ \begin{cases} {}^{L_0}\mathbf{p}_{L_j} = {}^I_L\mathbf{R}^{T I_0}_{I_j} {}^I_L\mathbf{R} {}^L\mathbf{p}_L + {}^I_L\mathbf{R}^{T I_0} \mathbf{p}_{I_j} - {}^I_L\mathbf{R}^{T I} \mathbf{p}_L \\ {}^{L_0}\mathbf{p}_i = {}^I_L\mathbf{R}^{T I_0}_{I_j} {}^I_L\mathbf{R} {}^{L_j}\mathbf{p}_i + {}^{L_0}\mathbf{p}_{L_j} \\ \mathbf{r}_l^j = \begin{bmatrix} {}^{L_0}\mathbf{p}_i^T, 1 \end{bmatrix} \pi_j \end{cases} \end{cases}$$

推导：我们将第 j 帧点云里的第 i 个点 ${}^{L_j}\mathbf{p}_i$ ，首先推到同时刻的 IMU 坐标系里，然后再转到初始时刻坐标系里，最后再转回初始时刻 LiDAR 坐标系里，这样就相当与引入了 IMU 和 LiDAR 之间的外参。具体来说：

$${}^{L_0}\mathbf{p}_i = {}^I_L\mathbf{T}^{-1 I_0}_{I_j} {}^I_L\mathbf{T} {}^{L_j}\mathbf{p}_i$$

其中：

$${}^I_L\mathbf{T} = \begin{pmatrix} {}^I_L\mathbf{R} & {}^L\mathbf{p}_L \\ \mathbf{0} & 1 \end{pmatrix} \quad {}^I_L\mathbf{T}^{-1} = \begin{pmatrix} {}^I_L\mathbf{R}^{-1} & -{}^I_L\mathbf{R}^{-1} {}^L\mathbf{p}_L \\ \mathbf{0} & 1 \end{pmatrix}$$

通过推导可以得到上面的公式 (姿态和位移分开表达)。

经过批量优化之后，待估的状态就会变得更加精确。所以，之后就可以利用该状态再次进行 LiDAR 的点云畸变处理，而后重新优化小面片。可以通过多次迭代改善待估的状态精度。